

中國科學院物理研究所

雙磁鏡 β 譜儀總結報告

梅鎮岳 鄭林生 徐英庭

編號： C 0002

一九五八年七月

本工作的目的为建造双磁鏡 β 譜仪供本所研究放射性同位素以及核反应产物的 β , γ 能譜之用。工作从 1953 年 12 月开始至 1956 年 6 月告一段落。双磁鏡 β 譜仪已建成調节校正完毕,初步能供研究同位素的 β , γ 能譜之用。仪器的性能如下: 分辨率 $\frac{\Delta P}{P} = 1.5\%$, 透射率 $\sim 1\%$ 。線圈通过的最大电流約 50 安培, 可以測量 9 Mev 左右以下的电子的能量。

目 录

1. 引 言	(1)
2. 建 造	(5)
3. 調 节	(11)
4. 校 正	(14)
5. 參考文献	(16)
6. 附 录	(17)

双磁鏡 β 譜仪总结报告

1. 引言

在原子核光谱学中磁性 β 谱仪占有很重要的地位。它的发展历史很久，到现在磁性 β 谱仪的种类已很多。根据磁场的分布和它聚焦的特性 β 谱仪可以分为二大类：横向磁场 β 谱仪与纵向磁场 β 谱仪。前者电子在磁场中的轨迹主要是与磁场方向相垂直的，后者主要是与磁场方向相平行的。由于磁场的分布和聚焦特性不同，横向磁场的可以分为：180° 半圆式，三级单向聚焦式，双聚焦式等。纵向磁场可以分为：螺旋管式，短磁镜式，长磁镜式，双破镜式等。

分辨率与透射率是 β 谱仪的主要性能。分辨率 $\frac{\Delta P}{P}$ 是单值能量线谱的半宽度 ΔP 与它动量 P 的比值。透射率是放射源放出的 β 粒子能够被聚焦，被探测器记录的百分数。由于象差，分辨率与透射率是 β 谱仪互相矛盾的二个性能，改正 β 谱仪的分辨率，时常只能减小它的透射率。实验的正确性不仅仅与 β 谱仪的分辨率有关，在很多情况下，如不能得到足够强度的放射性同位素等，我们时常宁愿减小 β 谱仪的分辨率而提高它的透射率。

最早用磁场方法来分析 β 能谱的要算 Baeyer 和 Hahn^[1]。在 1910 年他们用均匀磁场使放射源 S 放出的 β 粒子偏转，用照相片记录（图 1），由于 β 粒子的能量不同，通过

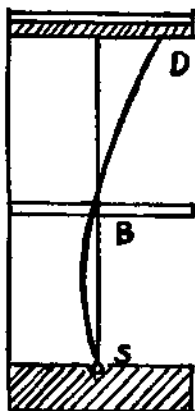


图 1. 直接偏转法； S 放射源，
 B 狹縫， D 照相板

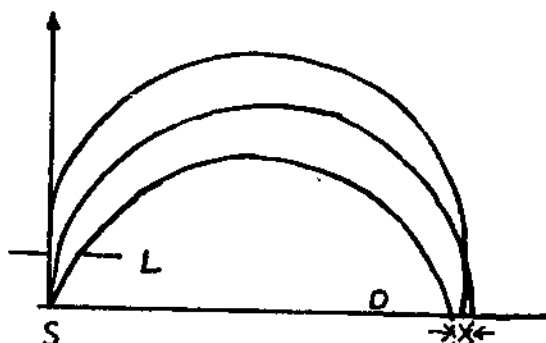


图 2. 半圆型 β 谱仪内的单值能量 β 粒子的轨道

* 本文于 1956 年 7 月写成。

狭縫 B 后，記錄在照相片 D 不同的位置上。在直接偏轉法的裝置中沒有聚焦作用，因此分辨率不好，在他的實驗中可以看出橫向磁場在分析 β 射線時的作用，與三稜鏡分析日光光譜的作用一樣。

1911 年 Danysz^[2] 指出在均勻磁場中用半圓形軌道可以得到聚焦。半圓型 β 譜儀比直接偏轉法分辨率提高很多。圖 2 是半圓型 β 譜儀聚焦的原理。從放射源 S 中放出的 β 粒子經過狹縫 L 後聚焦在照相片 D 上。根據計算，如果 ΔS 是放射源的寬度，從放射源 S 射出，被狹縫 L 限制的 β 粒子束，在垂直磁場方向與平行磁場方向的張角分別為 ϕ, ψ 時，則單值能量 β 粒子在照相片 D 上線譜的底寬度為：

$$\Delta X = \Delta S + \rho(\phi^2 + \psi^2)$$

ρ 是軌道的半徑。 $\rho(\phi^2 + \psi^2)$ 兩項是由子電子光学系統聚焦不完善，由於它的象差而引起的。由於象差項 $\rho(\phi^2 + \psi^2)$ ，尤其是在平行於磁場方向沒有聚焦作用而引起的象差項 $\rho\psi^2$ ，使半圓型的 β 譜儀的透射率很小。1946 年 K. Siegbahn 和 N. Svartholm^[3] 提出改正均勻磁場，消去象差項 $\rho\psi^2$ ，在平行於磁場方向上也有聚焦作用的雙聚焦原理。它的作用原理最初是从研究電子在電子迴旋加速器中的運動軌道而得到的^[4]。如果在 r_0 处的磁場強度為 H_0 ，磁場 H 跟 r 變化的情形為

$$H = H_0 \left(\frac{r_0}{r} \right)^n \quad 0 < n < 1 \text{ 時}$$

電子的徑向與軸向振動角速度分別為

$$\omega_r = (1 - n)^{1/2} \omega_0$$

$$\omega_a = n^{1/2} \omega_0$$

其中

$$\omega_0 = \frac{ecH}{m}$$

$$\text{當 } n = \frac{1}{2} \text{ 時} \quad \omega_r = \omega_a = \frac{\omega_0}{\sqrt{2}}.$$

所以聚焦的角度為 $\sqrt{2}\pi$ 。因為有二個方向聚焦，所以雙聚焦的 β 譜儀比半圓型 β 譜儀透射率增加很多。雙聚焦 β 譜儀除了透射率大以外，並且還有另外一個優點：雙聚焦 β 譜儀的磁場強度是隨 r 增加而減小的，當 β 粒子的能量高時，它的軌道半徑也大，因此運動在磁場較弱的區域。因此使運動半徑更大，使不同能量的 β 粒子分得更開。在半圓式 β 譜儀，只有前一原因的作用。這樣就增加了雙聚焦 β 譜儀的色散率，因而使它的分辨率比半圓式的增加一倍。

另一種改正磁場的 β 譜儀就是三級單向聚焦的 β 譜儀^[5]，主要是消去象差項 $\rho\phi^2$ 。與磁場垂直方向上 β 射線束的角度 ϕ 可以增加很大。

利用磁透鏡的色象差來分析 β 能譜最早是 Kapitza^[6] 提出來的，1924 年 Tricker 做出來的。Tricker 做的是螺旋管式 β 譜儀，用螺旋管來產生均勻磁場。圖 3 是螺旋管 β

譜仪，*C* 是螺綫管綫圈，*B* 是选择从放射源 *S* 放出来 β 射綫束的出射环形狹縫。由于色象差只有經過环形狹縫一定动量的 β 粒子，才可以进入探测器的入射狹縫 *D*。螺綫管式 β 譜仪的优点是电子轨道可以正确計算，調節容易，受外界的磁場影响小，缺点是磁鏡綫圈的安培匝数多，体积大。

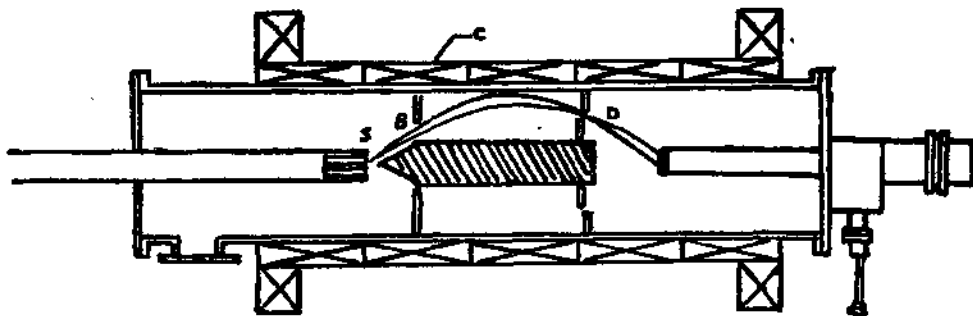


图 3. 螺綫管式 β 譜仪：*C* 螺綫管綫圈，*S* 放射源，*B* 出射环形狹縫，*D* 入射狹縫

其次是短磁鏡式 β 譜仪。它与螺綫管式的差別是磁鏡綫圈比較短，因此磁場集中在中間比較狭窄的区域内。Deutsch, Elliot, Evans^[8] 等对短磁鏡式 β 譜仪做过理論上的分析，把磁場綫圈看做只具象差的薄透鏡。象与实物服从薄透鏡公式

$$\frac{1}{v} + \frac{1}{u} = \frac{1}{f}$$

其中 *v u* 为象和实物与透鏡的距离，*f* 是透鏡的焦距，

$$f = C \left(\frac{P}{ni} \right)$$

P 为粒子的动量，*ni* 为綫圈的安培匝数，*C* 为与綫圈几何形状相关的常数。对很靠近軸的射綫

$$f = \frac{4P^2}{\int_{-\infty}^{\infty} H_z^2 dz}$$

H_z 是鏡軸上的磁場強度。因为焦距 *f* 与軸上的磁場強度 *H_z* 的积分成反比，所以磁場較集中的短磁鏡 β 譜仪对聚焦一定能量的 β 粒子，綫圈所需的安培匝数比磁場分布在較广区域内的长磁鏡 β 譜仪和螺綫管式 β 譜仪要少得多。

图 4 所表示的为同样动量出射角 θ 不同的 β 粒子束在磁鏡綫圈的作用下的轨道。从图 4 中可以知道出射角大的 β 射綫束聚焦在离綫近的 *A* 点。出射角小的聚焦在离綫圈远的 *B* 点。这就是磁鏡式 β 譜仪的象差。它的产生是由 2 个原因引起的^[9]。1. 出射角大的 β 粒子束，它在鏡軸方向上的分量比出射角小的要小，即 \cos 的作用 (\cos effect)。2. 出射角大的 β 射綫束在弯折区域 (bending zone) 中經過磁場強度較大的区域。图 5 是短磁鏡軸上的磁場分布。軸外的磁場強度

$$H_z(z, r) = H_z(z, o) - \frac{r^2}{4} \frac{\partial^2 H_z}{\partial z^2} \dots$$

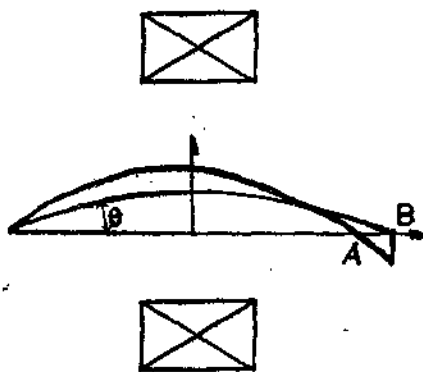


图 4. 短磁鏡式 β 譜仪的象差

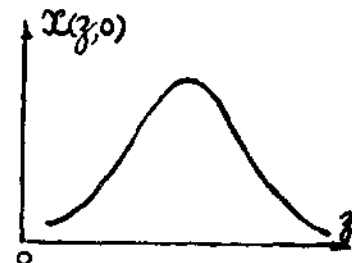


图 5. 短磁鏡 β 譜仪的磁场分布

对短磁鏡和长磁鏡的 β 譜仪的磁场 $H_z(z, r) > H_z(o, z)$ (H_z 是鏡軸方向上的磁场强度) 这二个原因所引起的象差都是正的。螺線管式 β 譜仪产生象差的原因只是 \cos 的作用，因此它的象差要比短磁鏡的要小。減小短磁鏡 β 譜仪的象差的办法就是用长磁鏡線圈，使磁场分布在一个較大的范围内，使 $\frac{\partial^2 H_z}{\partial z^2}$ 尽量小，使弯曲区域磁场分布曲线的斜率小。

理論計算得到沒有象差的磁场分布如图 6 所示。

Siegbahn^[10] 做过一 β 譜仪，如图 7，線圈用鐵包起来，使磁场分布尽量減小象差。

綫圈中用鐵的优点是聚焦一定能量的 β 射綫可以減小綫圈的安培匝数。缺点是失去了 $H \propto i$ 的关系，要用另外方法測定磁场。并且还有剩磁等問題，使磁场的分布与电流大小有关。

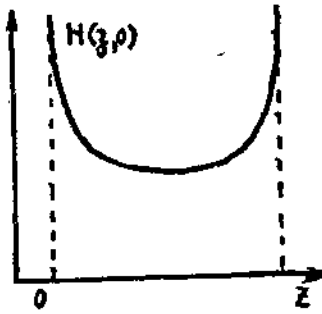


图 6. 理想的磁场分布

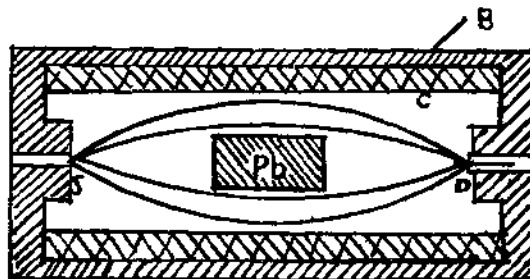


图 7. Siegbahn β 譜仪
C 線圈，B 鐵壳，S 放射源，D 計數管

Quade Halliday^[11] 用相距一定距离的双磁鏡線圈(图 8)，使在弯折区域中的磁场分布曲綫中間有一低下去的部分，使 $\frac{\partial^2 H}{\partial z^2}$ 为正，以減小象差。他們也研究了綫圈的距离与象差的关系。

不同类型的 β 谱仪有它自己的特点，直到现在为止，各种类型的 β 谱仪都在应用。现在发展的趋向用得最多的是双聚焦 β 谱仪。用那一类 β 谱仪主要是由实验的目的与它特殊的要求决定的。双聚焦 β 谱仪的分辨率接近半圆型 β 谱仪，透射率接近短磁镜的 β 谱仪。因此目前研究同位素的 β^- ， γ^- 能谱多用这种型式的 β 谱仪。它的缺点是放射源在磁场内，不便做散射实验。我们的目的是建造供测量核反应产物的 β^- ， γ^- 能

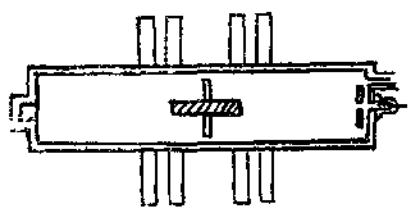


图 8. Quade-Halliday 双磁鏡 β 譜仪

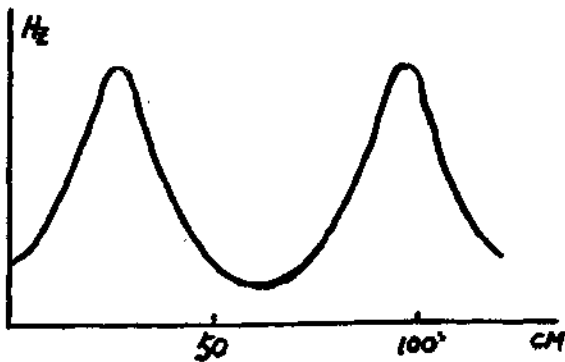


图 9. 双磁鏡 β 譜仪的磁场分布

譜之用的 β 譜仪。选择双磁鏡 β 譜仪的原因是因为它具有与长磁鏡 β 譜仪或螺線管 β 譜仪相接近的性能，比短磁鏡式的要好。放射源与計数管在磁场外面，加速器出来的离子流很少受到譜仪磁场的作用。放射源与計数管之間的距离很远，中間有一块很厚的鉛可以減少加速器和核反应产物的高能 γ 射线本底。因为核反应产物的 β^- ， γ^- 能量一般較高，因此希望譜仪能量到 10 Mev 左右电子的能量。同时也希望它具有一般的分辨率(1—2%) 和高的透射率($\sim 1\%$)。

2. 建 造

图 10, 11 是我們建造的双磁鏡 β 譜仪的照片，图 12 是它主要部分的切面图，它的主要組成部分是产生軸对称磁场的二个磁鏡線圈 1，放在放射源 S 計数管 GM 中間对称的位置上。二線圈中心相距的距离为 54.5 厘米（二者距离在需要时可以改变，把二个線圈靠在一起，则双磁鏡 β 譜仪变成了短磁鏡 β 譜仪），每个線圈的厚度为 21 厘米，內径为 28.2 厘米，外径約为 80.5 厘米。線圈扁銅線的截面为 7.2×3.4 毫米²，用包二层厚度約 0.03 毫米的薄綢絕緣起来。每个線圈分开 TA 和 BE 二部分，每一部分由六薄餅 (pancake) 組成，每一薄餅共有 140 匝，二个線圈总共 3360 匝。因此線圈总共分开 T, A, B, E 四部分（图 12），每一部分的电阻分别为 $1.074; 1.074_2; 1.074_4; 1.074$ 。为了使磁场的分布尽量对中心对称， TE ， BA 分別串联在一起，使通过 TE 的电流相等，通过 BA 的电流相等。 TE 与 BA 串联时線圈的总电阻为 4Ω ， TE 与 BA 并联时总电阻为 1Ω 。因此对一定的磁鏡線圈电源电压， TE 与 BA 并联时通过線圈的电流比 TE ， BA 串

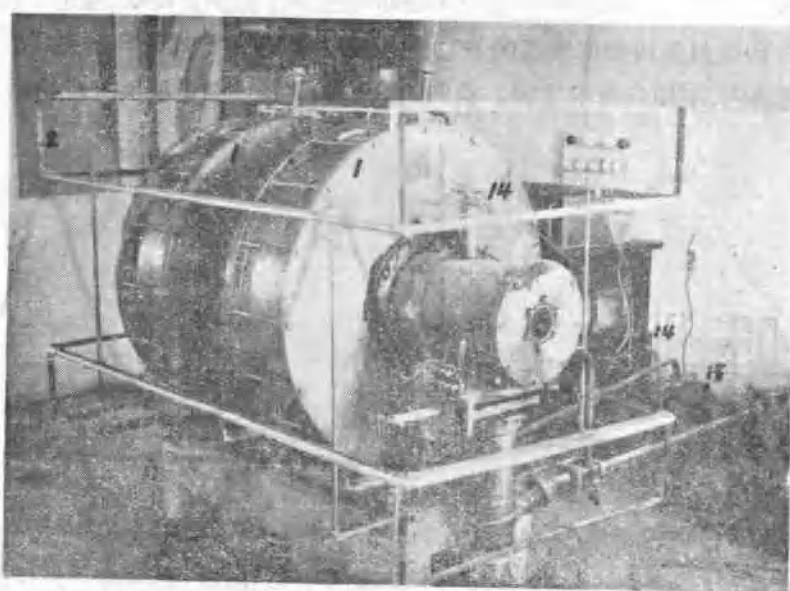


图 10.

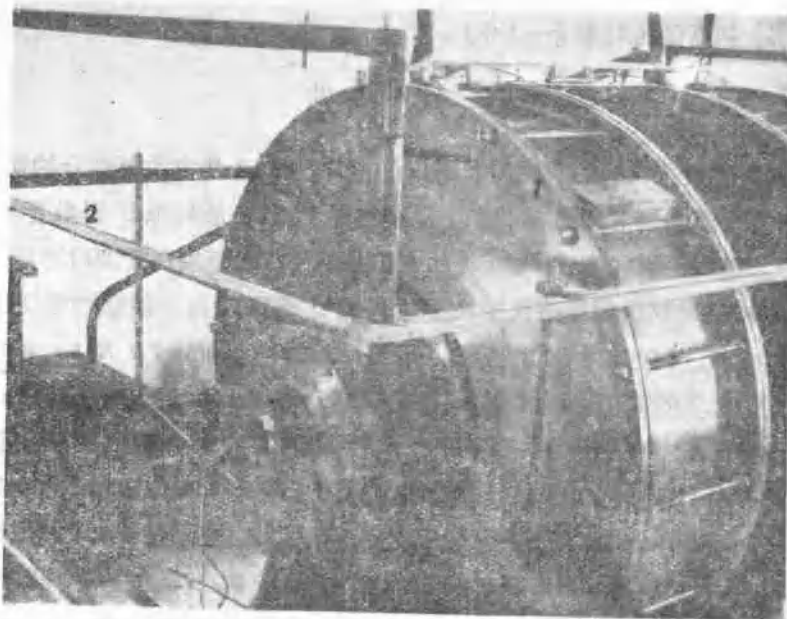


图 11.

联时可以增加一倍。二线圈分别装在铸铜制的铜盒子(1)内，铜盒子中加入变压器油，用以冷却线圈通电时产生的热量。变压器油用油泵(15)循环，当油经过热交换器(14)时，油被通过热交换器中的螺旋形紫铜管中的水所冷却。线圈通过的最大电流为50A，因此消耗的功率为10 kW。线圈电源部分工作是52组席德明同志完成的。它的电源是17.5 kW的直流发电机(125V, 140A)。控制直流发电机的激磁发电机的激磁电流达到线圈磁场的稳定，在十分鐘內穩定度可以达到0.02%。通过线圈的电流用电位計测定与线圈串联的标准电阻(康铜线)的电压降測量。

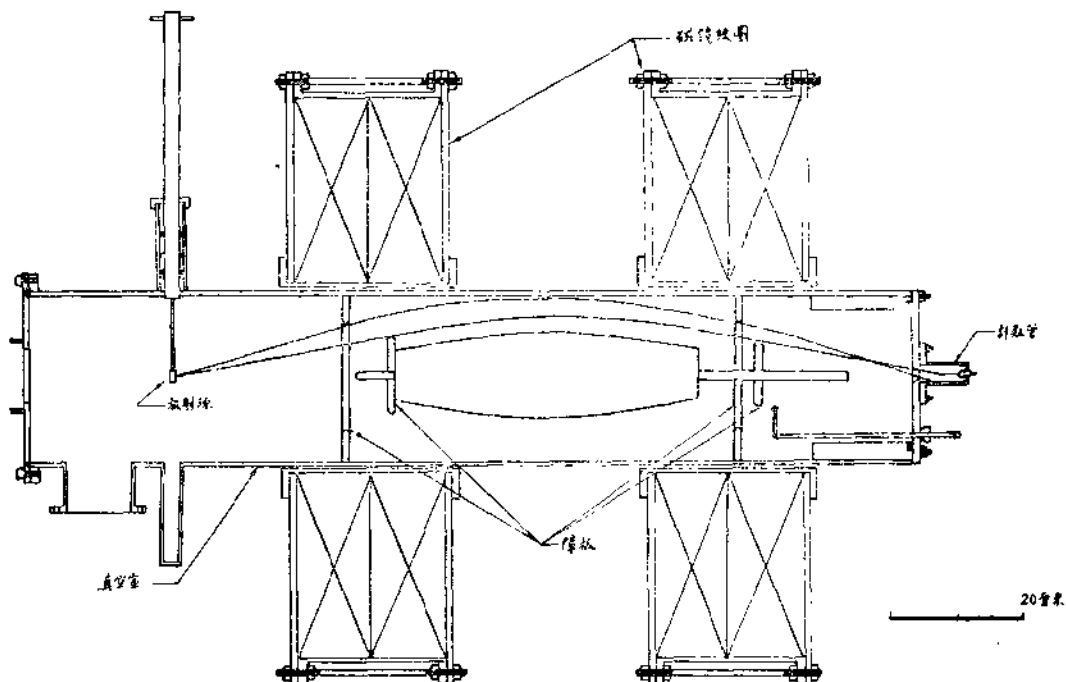


图 12.

铜盒子放在木架(17)上面的铜柜子(18)上，可以用螺丝(19, 20)调节线圈的几何位置(图10照片)。线圈的重量约1800公斤，谱仪的总重量约2500公斤。铸铜盒子的材料发见有显著的顺磁性，用强的马蹄形磁铁在距离2—3毫米内能够吸住铜盒子加工时切削下来的铜屑。用磁铁吸过后的铜屑具有明显的顺磁性。20组杜厚玉等同志化学分析确定铸铜含铁量在3%—3.2%之间，光谱分析确定含Ni量接近10%，在10%以上。因此当谱仪用在低能区域时，它的磁场分布可能受到铜盒子中含有铁磁性物质的影响*。

线圈的磁场分布用直径1厘米的探测线圈(Searching coil)和冲击电流计测定。把探测线圈放在线圈中心轴的各个位置上，探测线圈的轴与线圈的轴相合，当通过线圈的

*对仪器在低能时的影响还没有发见，在试验时发见谱仪下面的钢筋对磁场分布有影响。

电流由 1.5 安培变到零，读出冲击电流计的偏转数 d (毫米)。探测线圈的面积和电流计常数用标准螺线管校正，图 13 中的实线是实验测得的二个磁镜线圈磁场分布结果。从实验测定的二个线圈的磁场分布曲线的迭加而得的虚线，表示二线圈的距离为 54.5 厘米时，磁场的分布情形。放射源与计数管间的距离为 110 厘米，因此磁场分别在谱仪中心与放射源计数管中间处约为最大，约 42.25 高斯/安培实验测得的结果与计算所得的结果很相符合。

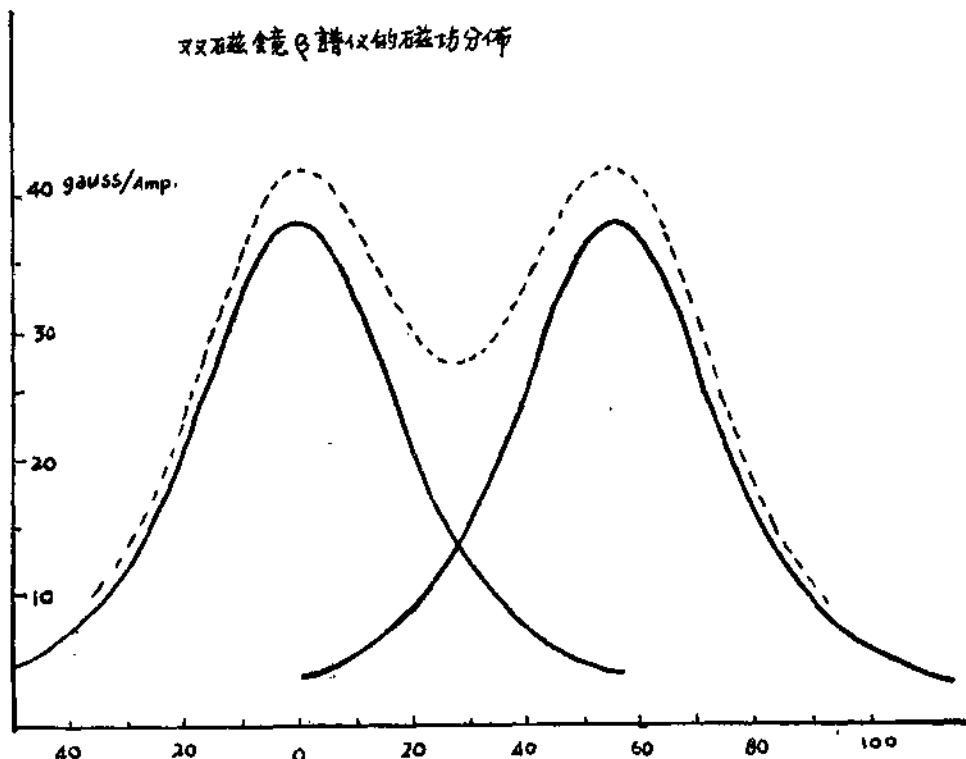


图 13. 双磁镜 β 谱仪的磁场分布。实线是实验测得结果，虚线是实线迭加的结果

地磁场的垂直强度与水平强度用转动探测线圈的方法测定，得结果为 $H_{\perp} = 0.365$ 高斯， $H_{\parallel} = 0.205$ 高斯。地磁场的垂直强度用相距 55 厘米，96 厘米 \times 165 厘米的二个矩形中和线圈 (2) 所产生的磁场抵消。当中和线圈的电流为 0.65 A 时，谱仪中心的磁场强度为零。

放射源背景 (backing)、真空室壁、屏蔽系统以及真空室中的剩余气体都能引起 β 粒子的散射。尤其是低能区域散射是影响实验结果的主要因素。为了减少剩余气体中和真空室壁的散射，真空室必须要达到足够高的真空度。真空室要大，可以使容易引起散射的物质与放射源的距离较远，并且尽量用原子序数较小的元素作材料。谱仪的真空室 (3) 为一长 131 厘米，内径 25.4 厘米，厚 0.476 厘米的黄铜管，用铜架 (20) 固定在铜底板 (18) 上。法兰盘 B 的圆铜板中心开了一个直径 8 厘米的玻璃窗，从这玻璃窗可以

看到悬挂在放射源支架上的放射源。玻璃窗的主要目的是当谱仪用来研究核反应产物的 β , γ 能谱时,玻璃窗的圆孔可以直接与加速器的真空室相接,使离子流通过圆孔打在放射源支架上的靶子上,法兰盘C的中心有一直径3.8厘米的圆孔,可以套上具有不同直径的中心孔的圆铜板E,在没有调焦圈(ring focus)时,中心孔作为计数管的入射孔。中心孔的直径应该等于放射源的直径^[8]。

放射源的支架(图14)固定于直径1吋铜棍W上。W再套上一端密封的铜管m, 放射源支架S装上放射源后,W与m用丝扣套紧,沿H管向下插。当m上的小孔O与铜管H上的小孔O'相合时,在m中的空气由F管被机械抽气机抽走。因此O孔经过最下面一个O⁻圈时,不会影响整个真空室的真空度。W完全插下后m即套在J管内,J管底部凸出的小铜块V嵌入M底部的槽u,使转动W时m不会转动。转动W使W丝扣退出m管的丝扣,再提起W。当放射源在谱仪的中心轴上时,用夹具把W夹住。此时m留在J内。需要把放射源从谱仪的真空室中取出,可以把W插下,与留在J内的m管套住,然后再提起W。等到m已抽出1厘米后,用夹具把m夹住。退出W与m的丝扣,就可以把W从m上取开。这时候m仍留在H管内,使真空室不致漏气。i是压O⁻圈用的螺丝帽。经过试验象图所用的装置,换一次放射源只需一分钟左右的时间,并不影响谱仪的真空。螺丝帽i不把O⁻圈压紧,抽动W时阻力很小,也没有一次发现漏气。这种设计的优点是用钢管J与三个O⁻圈代替真活门,因此构造比较简单,使用时也很方便。

(9)为直径1吋的真空阀,(8)为直径4吋的真空阀,(23)为直径4吋的三级分馏式油扩散抽机,(7)为抽气速率1立升/秒的机械抽气机。K为真空室经过真空阀V直接与机械抽气机相接的分路,它的作用是打开真空室后,扩散抽气机不需要停止加热,可以用分路V直接抽真空室。用1立升/秒抽气速率的抽机,要13分钟左右的时间,可以把真空系统从大气压力抽到几百 μ 。达到使扩散抽机工作的真空度。机械抽机能够达到20 μ 至5 μ ,扩散抽机能够达到 2×10^{-5} 毫米水银柱以下。

真空阀的设计,考虑了真空阀关启时的方便,通气的阻力,以及机械结构上的简单。直径1吋的真空阀9是根据Wahl^[13]的真空阀设计的,它的主要优点是关启方便,通气阻力小,缺点是O⁻圈容易被活板(Vane)磨损或挤出。为了防止O⁻圈被活板挤出,Wahl用了直径比橡皮槽直径小的O⁻圈。我们的主要改正是把橡皮槽开成外面小里面大。O⁻圈槽深= $\frac{4}{5}$ O⁻圈直径,槽外面宽度= $\frac{4}{5}$ O⁻圈直径。最里面宽度使O⁻圈嵌入橡皮槽后完全或很少受到挤压,即仍旧保持O⁻圈截面的大小与形状。如果活板厚度适当均匀而光滑,不论活板的那一边是大气压力,真空阀都不会漏气。

4吋真空阀8是根据King^[14]的真空阀设计的,为了防止真空阀漏气时打不开,在平板P₂上不用O⁻圈,并且开了小孔。(图15)

为了确定 β 射线的轨道和减小电子的散射,在真空室中按上障板abcd(图12)。bc分别为内径180毫米,160毫米厚3.5毫米的环形圆铜板。ab分别为直径115毫米104

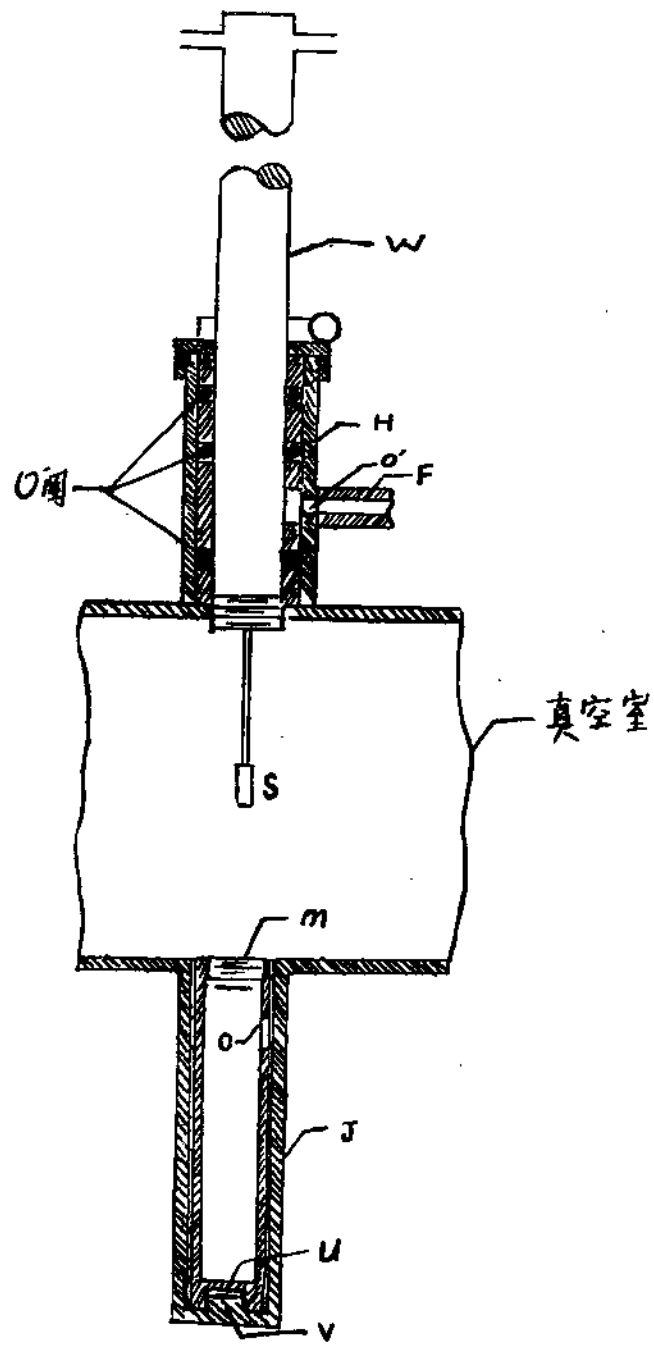


图 14. 放射源支架与真空间

毫米厚 3.5 毫米的圓銅板。它們的位置与大小从考慮用电子枪測定的軌道而確定的。 ab 二障版所確定的 β 粒子束的範圍略大于 cd 所確定的範圍。障版 d 可以用銅桿(16)使它在銅棍 e 上面前后滑動，以調節譜儀的分辨率与透射率(圖 12)。鉛塊 L 的長度為 45 厘米，用以擋住 γ 射線，尤其是核反應產生的高能 γ 射線。 $abcd$ 的障版二面都貼有與障版大小相同的樹膠板(Lucite)，用來減少 β 粒子在障版上的散射。用電子槍代替放射源試驗時，發見電子打到樹膠板上後，由於板的絕緣性能很好，吸收電子以後得到很高的電位，使電子束不能通過障版所確定的環形狹縫。考慮到放射源強度大時可能也有类似的情況，因此把障版 abc 靠近放射源一面的樹膠板都蒸發上一層鋁，使它表面導電。障版 d 的樹膠板用鋁板代替。用放射源 Cs^{137} 做試驗時，障版 a 可以減少本底 20%。如果考慮到散射在低能區域時嚴重，得到減少本底 20% 所用的計數管的雲母窗的厚度只能透過能量大於 40 kev 的 β 粒子。因此研究低能區域的 β 能譜時，障版 a 減少散射更有顯著的作用。

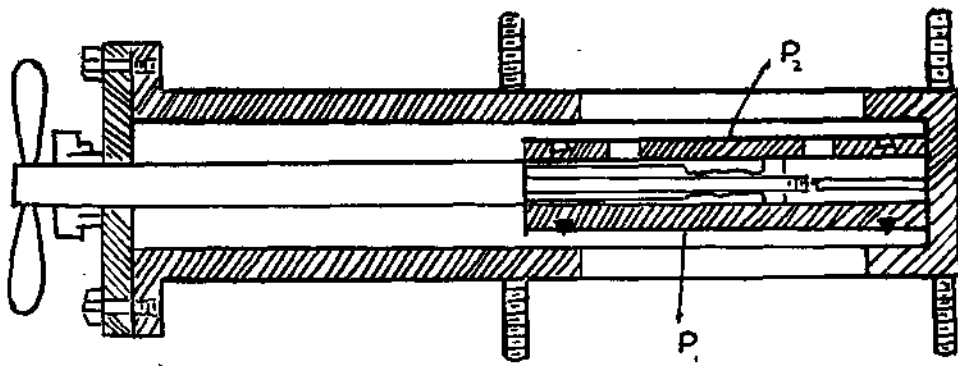


图 15. King 真空間，直徑 4 吋

探測器(5)為鐘形薄窗計數管。用譜儀本身的真空系統抽氣與用與它相接的儲氣桶充氣的 β 計數管充氣系統的工作正在進行。GM 輸出的脈衝經過陰極跟隨器(13)後，再輸入控制桌上的 64 進位器。

3. 調 节

β 譜儀磁鏡線圈的軸與地磁的南北方向相合，放射源與計數管的入射孔在線圈的軸上，地磁場的垂直強度用中和線圈抵消。 β 譜儀對各種不同單值能量 β 粒子的線譜曲線才是對稱的，峯值計數率也為最大。如果放射源或計數管的位置不在磁鏡線圈的軸上，峯值計數率可以減小很多，線譜曲線(window curve or line profile)不對稱，甚至每一線譜有二個峯。使譜儀的分辨率不好。電子槍提供調節線圈位置一個方便的方法，先把線圈的軸對準磁針所指的南北方向，根據幾何形狀，真空室圓筒對準線圈的中心軸，電子槍放在放射源的位置上。電子槍放出的電子束經過磁場線圈聚焦後成象子計

数管处的螢光板上。調節線圈的位置与方向,使磁鏡線圈所产生的磁场方向与地磁场水平分量的方向相同与相反时,在螢光板上聚焦的电子束的光点的位置不变。磁鏡線圈对电子束的作用与透鏡对光線的作用一样。当物不在透鏡的光軸上时,它的象也不在光軸上。电子束在磁场線圈作用下,除了对光軸象对实物有一轉角外,也有类似的情形。通过磁鏡線圈的电流方向相反时,象对实物旋转的角度也相反,因此使电子枪与螢光板中心不在線圈軸上时,磁鏡線圈电流方向不同,螢光板上光点的位置也不同。只有当二者都在磁鏡線圈磁场的对称軸上时,光点的位置才不变。線圈的軸沒有在地磁的南北方向时,不同电流方向線圈产生的磁场与地磁场相加的合磁场的方向不同,因此在螢光板上光点的位置也不相同。所以可以調節線圈的位置,使电流方向变更时,电子束在螢光板上亮点的位置不变,这时候線圈的軸就在南北方向上,电子枪与电子束在螢光板上的亮点就在線圈的軸上。

根据 Van Atta^[12] 变更中和电流在不同磁鏡線圈电流方向得到图 16 所示的电子束在螢光板上亮点的轨迹。1 是線圈的位置未经調節时所得的结果。中和电流的数值由 0.6, 0.7…1 安培变更。光点的轨迹 *ab* 二条直线交点的中和电流, 不同線圈电流方向分别为 0.9; 0.76。經過一次位置調節后, 交点的中和电流值分别为 0.84; 0.81。經過第二次位置調節后交点的中和电流值分别为 0.825; 0.825。这时候电子的能量为 1 kev。提高电子枪能量为 4.7 kev, 中和电流为 0.825 时, 不同磁鏡線圈电流方向光点位置变更 1 毫米[注]。

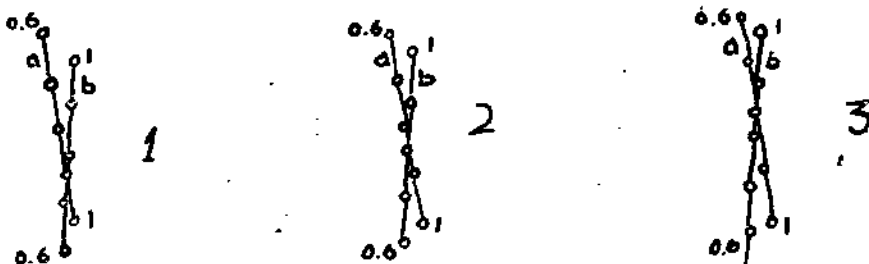


图 16. 变更中和电流, 电子束在螢光板上亮点的轨迹。

a 为磁鏡線圈的电流为 aiding (即磁鏡線圈产生的磁场与地磁场南北方向相合)时所得轨迹,
b 为 backing (即磁鏡線圈产生的磁场与地磁场南北方向相反)时所得轨迹

線圈通过 50 安培电流以后, 譜仪下面鋼筋水泥梁有很強程度的磁化, 等于在譜仪下面放了一条很大的条形磁铁, 产生比地磁场垂直强度大好几倍的不均匀扰乱磁场, 电子束受到这样大的不均匀磁场作用后, 不能聚焦在螢光板的中心, 同时有很大程度的象散性。通以适当的相反方向的电流以后(約 15—20 安培)能够把鋼筋的磁性显著的去掉。經过去磁后能够完全恢复到原来的情况。鋼筋对磁鏡線圈磁场分布的軸对称性有很坏的影响, 它的主要問題是当線圈通过大电流使它磁化后, 磁化所产生的磁场严重的影响線圈通小电流时的磁场分布。所以每通一次大电流(20 安培以上)后, 当譜仪用在

低能区域时,必須要經过去磁的手續。

用在真空室中可以前后移动的螢光屏 S (图 17) 可以确定在磁鏡線圈作用下, 不同出射角电子束的轨道, 以及轨道的旋轉角度。从轨道可以設計障版系統和确定調焦圈的位置。图 17 是确定 β 譜仪的电子轨道的装置。真空室譜仪中間按上开有几組中心綫的直径分別为 204, 186, 168, 150 毫米的小孔的圓銅板 PP' 。从电子枪 z 中射出的电子束, 通过小孔 OO' 后再投到螢光屏上。螢光屏 S 可以用桿子 (16) 在真空室的軸上前后移动, 测定在不同位置通过各組小孔的电子束在螢光屏上所成圆的直径, 結果测定在探测器一侧电子束的轨道如图 18 所示, 通过中心綫直径为 204 毫米 150 毫米小孔的电子束, 它們在靠近探测器处的轨道很接近与譜仪中心軸成 $18^{\circ}30'$, $12^{\circ}30'$ 的二条綫段。在它們相交的位置上, 前后移动螢光屏, 可以发見二組电子束打在螢光屏上发螢光的二个圆, 由分开而随漸重合, 重合的位置就是調焦圈的位置。測量的結果調焦圈的直径为 37.7 毫米与計数管孔的距离为 67 毫米。通过另外二組中心綫直径为 186 毫米与 168 毫米的小孔的电子轨道与通过中心綫直径为 204, 150 毫米的小孔的电子束軌道不

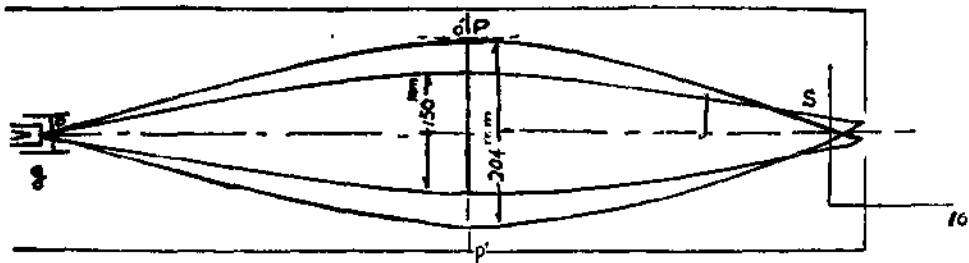


图 17. 确定 β 譜仪电子轨道的装置

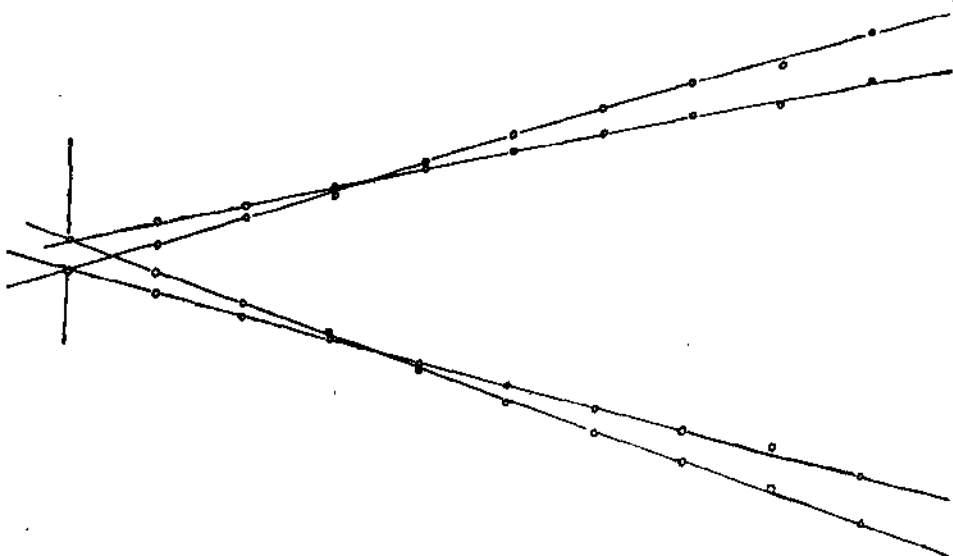
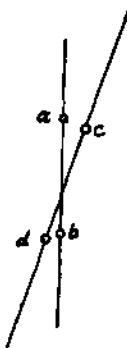


图 18. β 譜仪的电子轨道

同，因此它们的调焦圈的位置也不相同。出射角愈是大的电子束，它们调焦圈的直径也愈大，与计数管孔的距离也愈远。调焦圈的位置与选择电子束的出射角范围很有关系。

用电子枪也同时测量了磁镜线圈所组成的电子光学系统，象对实物的旋转角度 θ 。在电子枪前面装上开有二个对中心对称直径为 13.3 毫米小孔的铜套子，观察在计数管处的萤光屏上这两个小孔成象的位置。图 19 ab 为当磁镜线圈的磁场与地磁场的水平方向相合时象的位置，cd 为磁场方向相反时的位置。因为磁场方向相反时，象的转角相等而方向相反，因此可以从图中得出象的转角 $\theta = 90^\circ$ 。象的旋转主要发生在磁镜线圈电子光学系统的弯折区域内 (bending zone)。

4. 校 正



所有利用磁场的 β 谱仪都是利用 β 粒子的动量不同，在磁场中的运动轨道也不同。与运动轨道直接相关的是粒子的动量 $H\rho$ ，所以谱仪测定的也是粒子的动量。利用动量与能量相关的公式

$$E = E_0 \left\{ \sqrt{\left(\frac{e}{m_0} \frac{B\rho}{c} \right)^2 + 1} - 1 \right\}$$

$$E_0 = m_0 c^2 = (510,984 \pm 0.016) \text{ kev}$$

$$\frac{e}{m_0} = (1.75888 \pm 0.00005) \cdot 10^7 \text{ emu g}^{-1}$$

图 19. 象的旋转

$$c = (2.997929 \pm 0.000008) \cdot 10^{10} \text{ cm sec}^{-1}$$

可以求出 β 粒子的能量。所有 β 谱仪中，只有 180° 半圆型的 β 谱仪。理论上与几何上的条件最简单，可以用来绝对测定 β 粒子的动量，其他型式的 β 谱仪一般都用能量已知的 γ 射线内转变或外转变线谱校正。用绝对测定方法定出的 γ 能量或内转变线谱能量都可以当作标准线谱。标准线谱的能量差不多分布在不同能量区域内，因此可以应用不同能量区域的线谱来校正含有铁磁性物质的 β 谱仪，研究铁磁性物质影响 β 谱仪直线性的程度。我们所用的标准放射源为 Cs^{137} ，它的优点是容易得到足够的强度， γ 能量为 661.65 kev^[15] 的内转变电子的能量大于含量 95% β 连续谱的最大能量 518 kev，内转变线谱在连续谱外面，内转变系数 $\alpha_i = 0.095$ 很大。放射源的直径为 6 毫米，GM 入射孔的直径为 6+ 毫米，改变障版 d 的位置，得到在不同透射率时 Cs^{137} 的 K 内转变线谱（图 20）。图 21 为从图 20 的内转变线谱而得的相对透射率与分辨率的关系。分辨率由 0.86% 改变到 1.64%，相对透射率约增加十倍。根据放射源一端障版的几何位置，估计谱仪的立体角约 1.6%。但是透射率主要被计数管一端的障版限制，故透射率要比 1.6% 小。^{*} 如果用调焦圈 (ring focus) 有希望在分辨率为 1.5% 时，透射率可以提高

^{*} 求透射率需要知道放射源的绝对强度。 Cs^{137} 的 518 kev β 不与 661 γ 符合 (coin incidence) 故不能用符合技术测定它的绝对强度。